

文章编号: 1000-0615(2017)07-1036-08

DOI: 10.11964/jfc.20160410350

## 黄颡鱼甘露糖受体基因的克隆和功能分析

刘小玲<sup>1,2</sup>, 王虹<sup>1,2</sup>, 樊启学<sup>2</sup>, 兰江风<sup>1,2,3\*</sup>, 林蠡<sup>1,2,3,4\*</sup>

(1. 华中农业大学水产学院, 水生动物医学系, 湖北武汉 430070;  
2. 华中农业大学水产学院, 淡水水产健康养殖湖北省协同创新中心, 湖北武汉 430070;  
3. 华中农业大学水产学院, 池塘健康养殖湖北省工程实验室, 湖北武汉 430070;  
4. 华中农业大学水产学院, 农业部淡水生物繁育重点实验室, 湖北武汉 430070)

**摘要:** 甘露糖受体(MR)隶属凝集素超家族, 主要表达于巨噬细胞和未成熟的树突状细胞表面。MR不仅在先天免疫防御中发挥重要作用, 还通过参与抗原呈递, 激活T淋巴细胞, 启动获得性免疫应答过程。本研究采用同源克隆技术获得黄颡鱼甘露糖受体(*pJMR*)基因, 采用荧光定量PCR技术检测MR在正常黄颡鱼体内的分布情况, 采用铜爱德华菌感染黄颡鱼头肾巨噬细胞和甘露聚糖封闭MR方法研究黄颡鱼MR在抗细菌感染中的作用。结果显示, *pJMR*同团头鲂、草鱼、斑马鱼和尼罗罗非鱼的MR聚为一支。*pJMR*在所检测的12个组织中均有分布, 其在肾脏、脾脏和肌肉组织中表达量较高, 在血液中表达量较少。铜爱德华菌感染黄颡鱼头肾巨噬细胞后, *pJMR*、IL-1 $\beta$ 和TNF- $\alpha$ 均被细菌诱导表达, 超氧阴离子和一氧化氮的含量也上升, 超氧阴离子在感染30 min后即显著上升, 一氧化氮在感染12 h后才显著上升。甘露聚糖竞争结合MR, 显著抑制巨噬细胞内化GFP标签的铜爱德华菌, 加入EDTA减少内化的荧光强度, 加入Ca<sup>2+</sup>使内化的荧光强度回升。研究表明, 黄颡鱼头肾巨噬细胞MR参与铜爱德华菌的识别和内吞过程, 而且依赖Ca<sup>2+</sup>。

**关键词:** 黄颡鱼; 甘露糖受体; 铜爱德华菌; 超氧阴离子; 一氧化氮

中图分类号: Q 785; S 965

文献标志码: A

甘露糖受体(mannose receptor, MR)是一种跨膜糖蛋白, 属于C型凝集素家族, 不仅表达于巨噬细胞和树突状细胞, 还在肝脏内皮细胞、视网膜上皮细胞、脑神经细胞以及精子等多种类型的细胞上表达<sup>[1]</sup>。MR是重要的模式识别受体和内吞受体, 可以识别多种内源性和外源性的糖分子, 通过介导配体内化, 并与其他模式识别受体协同作用, 在维持机体内环境稳定和抗感染过程中发挥重要作用<sup>[2-3]</sup>。

大量的研究表明, MR不仅能识别细菌、真菌、病毒、寄生虫等病原生物, 还可以结合病

原生物入侵机体过程中产生的代谢产物, 启动先天免疫反应, 或通过提呈抗原启动获得性免疫应答。人巨噬细胞MR参与对白色念珠菌(*Candida albicans*)、卡氏肺囊虫(*Pneumocystis carinii*)、结核分枝杆菌(*Mycobacterium tuberculosis*)、杜诺万利什曼原虫(*Leishmania donovani*)、克氏锥虫(*Trypanosoma cruzi*)和疟原虫(*Plasmodium* sp.)等病原的识别和非理性吞噬过程, 并促进产生大量活性氧<sup>[4-8]</sup>。曼森氏裂体吸虫(*Schistosoma mansoni*)尾蚴在宿主体内移行和向童虫转变过程中, 许多分泌和排泄物都能被宿主MR识别, 从而激

收稿日期: 2016-04-11 修回日期: 2016-12-10

资助项目: 国家自然科学基金(31372563, 31572657, 31502199); 中央高校基本科研业务费专项(2014PY035, 2662015QC019); 湖北省科技支撑计划(2015BBA228, YSF2015000255); 农业部渔用药物创制重点实验室开放课题(201401); 广东省海洋与渔业局基金(A201512C003, 2015-115); 武汉市科技局基金(2016020101010089)

通信作者: 兰江风, E-mail: lanjiangfeng@mail.hzau.edu.cn; 林蠡, E-mail: linli@mail.hzau.edu.cn

发机体产生特异的抗曼森氏裂体吸虫免疫反应<sup>[9]</sup>。小家鼠(*Mus musculus*)巨噬细胞MR能够结合新生隐球菌(*Cryptococcus neoformans*), 并能识别其组分隐球菌甘露糖蛋白, 通过提呈该抗原, 诱导小鼠的T细胞应答以保护宿主。同时MR敲除的小鼠, 其T细胞保护应答显著减弱<sup>[10]</sup>。由于MR的胞质内部分很短, 缺乏信号转导结构域, 因此其激活免疫信号转导途径需要与其他的受体协作。如人单核细胞对铜绿假单胞菌(*Pseudomonas aeruginosa*)感染的炎症反应必须依赖MR与TLR2的协同作用<sup>[11]</sup>。免疫共沉淀技术实验结果证实, 巴西副球孢子菌(*Paracoccidioides brasiliensis*)及其gp43蛋白激活人单核细胞促炎症信号通路, 除需要MR与TLR2、TLR4的协作外, 还需要dectin-1的参与<sup>[12-13]</sup>。

进一步的研究表明, 吞噬细胞MR与病原免疫逃逸相关, 同时发现吞噬细胞外分布的MR介导了多种病原的入侵和传播。新生隐球菌通过下调巨噬细胞MR的表达量抑制机体的免疫应答, 从而逃避机体免疫系统的捕杀<sup>[14]</sup>。结核分枝杆菌及其细胞壁成分(mannose-capped lipoarabinomannan, ManLAM)通过MR依赖途径, 诱导过氧化物酶体增殖物激活受体-γ的表达, 抑制巨噬细胞的成熟以及吞噬泡与溶酶体的融合, 从而逃逸免疫杀伤和清除作用<sup>[15]</sup>。肺炎链球菌(*Streptococcus pneumoniae*)通过嗅鞘细胞上MR介导的内吞作用入侵宿主细胞<sup>[16]</sup>。人类精子头部表达的MR能作为HIV的载体而介导HIV的入侵, 从而导致HIV的垂直和水平传播<sup>[17]</sup>。人类MR可以识别和结合4种血清型的登革热病毒和特异性的糖蛋白, 介导其感染<sup>[18]</sup>。Chakraborty等<sup>[19]</sup>发现, 巨噬细胞在H<sub>2</sub>O<sub>2</sub>处理后, 引起MR表达的下降, 减少了杜诺万利什曼原虫进入细胞的量, 表明MR的表达与杜诺万利什曼原虫的感染相关。

综上所述, MR作为能结合多种配体的C型凝集素, 在多种病原的感染中起重要作用。开展以MR为靶点的免疫调节研究, 以及深入研究MR在病原入侵和免疫逃逸中的作用机制, 对开拓有效的防治途径具有极其重要的价值。爱德华菌病是水产养殖中最常见的传染病之一, 对水产养殖业危害巨大, 目前尚无有效的防治方法。爱德华菌属兼性胞内寄生菌, 能够逃逸吞噬细胞的杀灭作用, 在胞内存活和生长繁殖。本研究克隆黄颡鱼(*Pelteobagrus fulvidraco*)的

MR序列, 了解pfMR的结构特征, 采用鮰爱德华菌(*Edwardsiella ictaluri*)感染黄颡鱼头肾巨噬细胞, 探讨MR在爱德华菌感染中的角色, 为进一步研究MR的功能, 及寻求爱德华菌病的防治新策略提供理论参考。

## 1 材料与方法

### 1.1 实验材料

实验用黄颡鱼(180~200 g)购自湖北团风县某渔场, 使用淡水循环养殖系统(水温约25 °C)暂养至稳定后用于实验。

病原采用鮰爱德华菌和转化有GFP表达载体pFPV25.1的鮰爱德华菌。

### 1.2 pfMR的组织分布

随机选取5条黄颡鱼, 取其肝、脾、肾、头肾、肠、皮肤、肌肉、脑、鳃、心脏、血液和精巢等组织, 提取总RNA, 使用反转录试剂盒按照既定步骤反转录得到cDNA(百泰克, 北京)。使用荧光定量PCR对MR组织分布进行分析, β-actin作为内参。数据采用2<sup>-ΔΔCt</sup>法, 利用SPSS 16.0软件进行统计分析, P<0.05表示差异显著, P<0.01表示差异极显著。

### 1.3 巨噬细胞MR表达模式

使用Percoll(碧云天, 北京)提取鱼头肾组织巨噬细胞。分离的黄颡鱼头肾巨噬细胞以2.5×10<sup>5</sup>个/mL接种于细胞培养板, 培养过夜后, 以MOI=1:10(1细胞:10细菌)的鮰爱德华菌进行细胞感染。提取感染后1、2、4和7 h细胞总RNA, 并反转录为cDNA。使用荧光定量PCR对MR的表达模式进行分析, PCR反应条件按照罗氏公司的荧光定量PCR推荐的方法。

### 1.4 巨噬细胞呼吸爆发的测定

细胞以1×10<sup>5</sup>个/mL接种于96孔细胞培养板, 培养过夜后, 鮰爱德华菌以MOI=1:10感染细胞, 对照组为磷酸盐缓冲液(PBS)。采用NBT法, 检测细菌刺激后0.5、1、1.5、2和3 h细胞超氧阴离子的含量。采用Griess法, 于感染后1、2、4、8、12和24 h测定NO的含量。

### 1.5 MR与鮰爱德华菌感染的关系

MR是一种重要的模式识别受体, 研究表明其参与了多种病原菌侵入宿主细胞的过程。甘

露聚糖与MR有较高的亲和力，使用Sigma公司的终浓度为5 mg/mL的甘露聚糖封闭MR，以分析MR与铜爱德华菌感染的关系。实验过程中选择性添加2.5 mmol/L Ca<sup>2+</sup>和2 mmol/L EDTA以验证MR的活性是否依赖Ca<sup>2+</sup>。实验分为6组，2.5×10<sup>6</sup>个/mL细胞接种于细胞培养板，贴壁培养过夜后，第1组加入甘露聚糖孵育2 h；第2~4组加入EDTA孵育30 min，PBS清洗3遍，第3组加入Ca<sup>2+</sup>孵育1 h，第4组加入Mg<sup>2+</sup>孵育1 h；第5组只用Ca<sup>2+</sup>孵育1 h，第6组为空白对照组。在前期处理完成后，所有组分均加入预先活化好的含有GFP的铜爱德华菌(GFP<sup>+</sup>)，以MOI=1:10感染细胞2 h后，PBS清洗3~5遍，于509 nm检测裂解细胞中的荧光强度。

## 2 结果

### 2.1 pfMR氨基酸序列比对及系统进化分析

为了分析pfMR (NCBI Submission ID: 1921439) 在进化中的地位，利用NCBI数据库，选取包括7种哺乳动物、2种鸟类和5种硬骨鱼类的氨基酸序列。使用MEGA 4.0软件对选取的MR氨基酸序列构建系统进化树。pfMR同团头鲂(*Megalobrama amblycephala*)、草鱼(*Ctenopharyngodon idella*)和斑马鱼(*Danio rerio*)的MR聚为一支，随后与尼罗

罗非鱼聚为一支，并与舌齿鲈(*Dicentrarchus labrax*)关系较近。鸟类和哺乳类分别聚为一支(图1)。总之，MR的聚类分析结果和动物的分类地位比较一致。

### 2.2 pfMR组织分布

采用实时定量PCR检测了pfMR基因在黄颡鱼不同组织中的表达情况。pfMR在所有的被检测组织中均有表达，在脾脏和肾脏中有较高的表达量，分别为血液中表达量的120.14和105.50倍(血液中表达量做参照，设定为1)(图2)。

### 2.3 细菌刺激后巨噬细胞pfMR、IL-1 $\beta$ 和TNF-a的表达分析

以MOI=1:10铜爱德华菌感染分离的黄颡鱼头肾巨噬细胞，在感染后1、2、3和4 h收取样品，采用实时定量PCR检测感染后pfMR、IL-1 $\beta$ 和TNF-a基因mRNA表达水平，在细菌处理1 h后pfMR表达量显著高于未处理的空白对照组，并且在感染后3 h达到峰值，为对照组的11.43倍，之后又显著下降(图3)。

细菌感染会引起细胞因子表达量的变化，为了研究铜爱德华菌感染与细胞因子之间的关系，本研究对TNF-a和IL-1 $\beta$ 的表达进行了分析。TNF-a的表达量在感染后显著上升，并在感染后

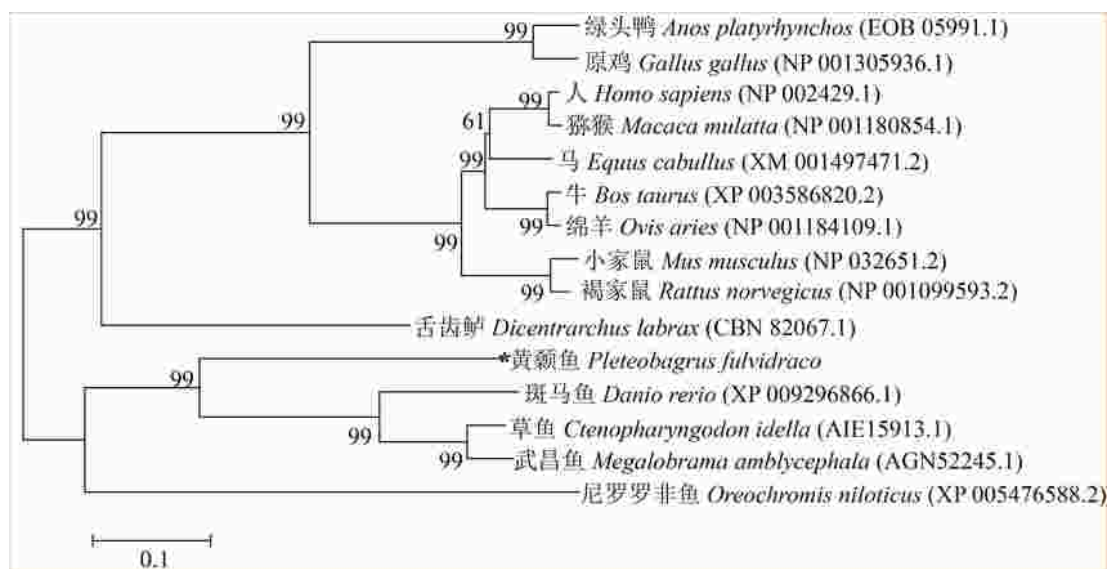


图1 pfMR进化树的构建

使用MEGA 4.0软件，构建了MR的系统发育树。节点处数值为置信值

Fig. 1 Phylogenetic tree of pfMR

MEGA 4.0 with neighbor-joining method was used in phylogenetic tree construction of pfMR. Numbers of each node indicated the percentage of bootstrapping of a 1000 replications

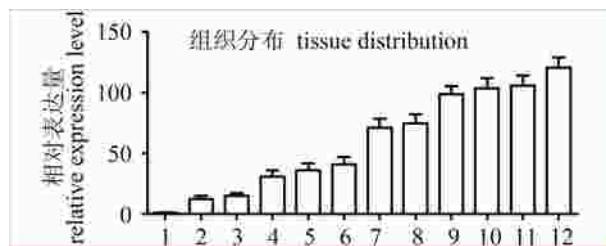
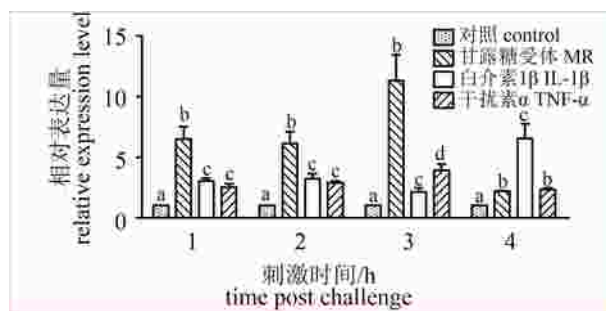


图2 pfMR的组织分布

1. 血; 2. 皮肤; 3. 肠; 4. 精巢; 5. 鳃; 6. 肝; 7. 心; 8. 头肾; 9. 脑; 10. 肌肉; 11. 肾; 12. 脾。 $\beta$ -actin作为内参, 实验重复3次

Fig. 2 Tissue distribution analysis of pfMR

1. blood; 2. skin; 3. intestine; 4. testis; 5. gills; 6. liver; 7. heart; 8. head-kidney; 9. brain; 10. muscle; 11. kidney; 12. spleen.  $\beta$ -actin was used as the internal control, the experiment was repeated three times

图3 鲷爱德华菌感染黄颡鱼巨噬细胞后pfMR、IL-1 $\beta$ 和TNF- $\alpha$ 的表达模式分析

$\beta$ -actin作为内参基因, 实验结果重复3次。数值采用平均值±标准差。同一时间点, 不同的字母表示具有显著性差异( $P<0.05$ ), 下同

Fig. 3 Expression profile analysis of pfMR, IL-1 $\beta$  and TNF- $\alpha$  in macrophage of *P. fulvidraco* after *E. ictaluri* infection

Expression of  $\beta$ -actin was used as an internal control. Each experiment was performed triplicate. Data were shown as mean±SD ( $n=3$ ). There are significant differences between groups if marked with different letters ( $P<0.05$ ), the same below

3 h达到峰值, 为对照组的4.01倍。 $IL-1\beta$ 的表达量在感染后1 h显著升高, 在处理后2 h达到第1个峰值, 为PBS对照组的3.36倍, 之后有下降趋势, 在处理后4 h达到第2个峰值(6.91倍)。

#### 2.4 超氧阴离子、一氧化氮测定

采用NBT法、Giess法分别检测细菌感染后超氧阴离子、NO的含量, 有爱德华菌组的超氧阴离子通常高于对照组(无细菌)。鲷爱德华菌感染细胞可以较早激活细胞产生超氧阴离子, 在感染后30 min, 其超氧阴离子显著高于灭活爱德华菌组( $P<0.05$ )。但是随着时间的延长(1.5和

3 h), 灭活鲷爱德华菌处理细胞组的超氧阴离子高于鲷爱德华菌感染组。NO的产生和超氧阴离子的产生具有不同的特点。热灭活的鲷爱德华菌在24 h内没有显著诱导NO的产生。但是, 活细菌感染细胞后, 在12 h之后NO的产量显著升高(图4, 图5)。

#### 2.5 MR与鲷爱德华菌感染的关系

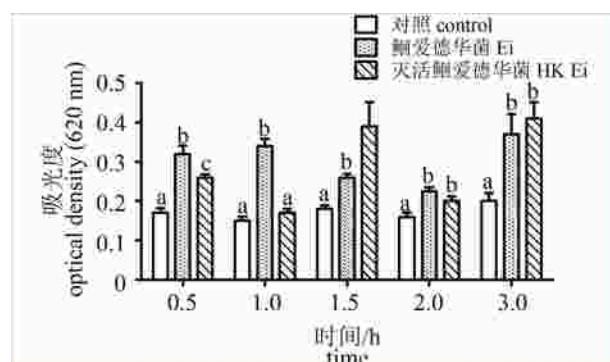


图4 鲷爱德华菌处理黄颡鱼头肾巨噬细胞后超氧阴离子的含量

实验分为3组, 分别使用鲷爱德华菌、热灭活鲷爱德华菌和PBS处理黄颡鱼头肾巨噬细胞, 随后利用NBT法检测各组中超氧阴离子的含量

Fig. 4 Superoxide anion amount in macrophage of *P. fulvidraco*

Macrophages were treated with live, heat killed *E. ictaluri* and PBS, respectively. Thereafter, the amount of superoxide anion was measured by NBT method

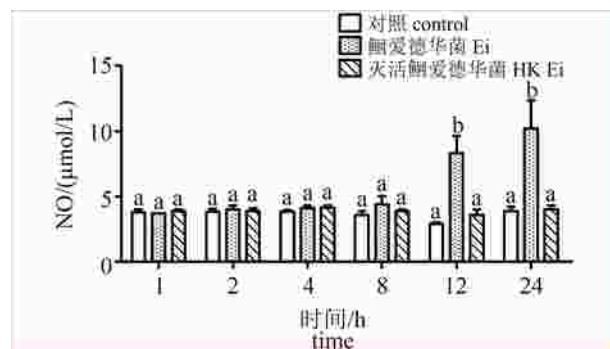


图5 鲷爱德华菌感染后黄颡鱼头肾巨噬细胞NO的含量

实验分为3组, 分别使用鲷爱德华菌、热灭活鲷爱德华菌和PBS处理黄颡鱼头肾巨噬细胞, 随后利用Giess法检测各组中NO的含量

Fig. 5 NO amount in macrophage of *P. fulvidraco*

Macrophages were treated with live, heat killed *E. ictaluri* and PBS, respectively. Thereafter, the amount of NO was measured by Giess method

大量研究表明哺乳动物细胞中MR的活动能够特异性被甘露聚糖mannan所抑制。为了研究MR与铜爱德华菌感染的关系,本研究进行了甘露聚糖抑制试验。细菌感染前先用mannan孵育2 h,然后用表达有GFP标签的铜爱德华菌感染细胞,PBS清洗3~5次后在培养板中加入细胞裂解液,509 nm检测荧光强度。对照组是未经mannan处理的细菌感染组。与对照组相比,加入甘露聚糖后,裂解液中荧光强度显著降低。加入Ca<sup>2+</sup>后,能显著增强其荧光强度。细胞预先加入EDTA后,荧光强度降低,而在EDTA之后再加入Ca<sup>2+</sup>其荧光强度有所升高,然而加入Mg<sup>2+</sup>不能产生这

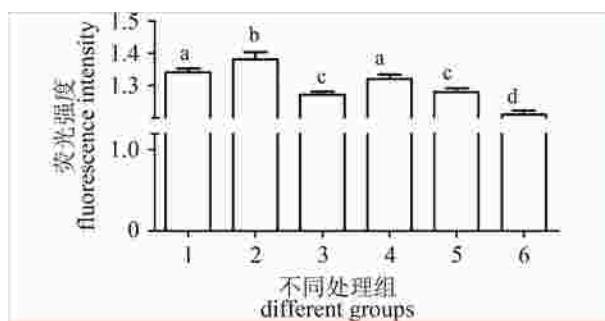


图6 甘露聚糖竞争抑制铜爱德华菌与MR的结合

实验分为6组,第1组加入培养基+爱德华菌,第2组先添加培养基+Ca<sup>2+</sup>之后添加细菌(Ca<sup>2+</sup>),第3组加入培养基+EDTA后添加细菌(EDTA),第4组加入培养基+EDTA和Ca<sup>2+</sup>,后加入细菌(EDTA+Ca<sup>2+</sup>),第5组加入培养基+EDTA和Mg<sup>2+</sup>,后加入细菌(EDTA+Mg<sup>2+</sup>),第6组添加培养基+mannan后加入细菌(mannan)。细菌添加2 h后检测荧光信号

**Fig. 6 Inhibition of the binding of MR to *E. ictaluri* by mannan**

These experiments were divided into 6 groups, macrophages cells were pre-incubated with medium (1) or medium containing 5 mmol/L mannan (6), 2.5 mmol/L Ca<sup>2+</sup> (2), 2.0 mmol/L EDTA (3), 2.0 mmol/L EDTA+2.5 mmol/L Ca<sup>2+</sup> (4) and 2.0 mmol/L EDTA+Mg<sup>2+</sup> (5), respectively. Thereafter, heat-inactivated GFP-expressed *E. ictaluri* was added, and cells were incubated for 2 h. Fluorescence intensity of the cells was measured

种效果(图6)。表明甘露聚糖能够显著抑制铜爱德华菌的内化过程,并且此过程依赖于Ca<sup>2+</sup>。

### 3 讨论

MR是一种模式识别受体,与内吞过程密切相关。MR主要存在于细胞膜表面,其胞质内部很短,含有内吞基序,但缺乏信号转导基序<sup>[20]</sup>。进化树分析发现黄颡鱼MR与鲤形目(Cypriniformes)的团头鲂、草鱼、斑马鱼MR聚为一支,并与尼罗罗非鱼、舌齿鲈距离较近。哺乳动物和鸟类

又分别单独聚为一支,表明MR的分子进化和动物进化较一致。

早期的研究表明,吞噬细胞表面的MR参与识别和结合多种病原,介导吞噬作用,并激活各种先天免疫应答机制。在激活吞噬作用时,巨噬细胞首先通过呼吸爆发产生大量活性氧、NO来杀灭病原,同时通过激活促炎信号通路,导致炎症反应<sup>[5]</sup>。铜爱德华菌体外感染黄颡鱼头肾巨噬细胞后,检测pfMR、IL-1 $\beta$ 和TNF- $\alpha$ 的表达,结果显示pfMR、IL-1 $\beta$ 和TNF- $\alpha$ 的表达水平在不同时间点都有上调,表明pfMR可能参与了黄颡鱼抵抗细菌感染的先天性免疫反应。此结果与Wang等<sup>[21]</sup>在研究嗜水气单胞菌(*Aeromonas hydrophila*)注射感染草鱼和团头鲂<sup>[22]</sup>的结果一致。Heinsbroek等<sup>[23]</sup>发现缺乏MR的小鼠腹腔巨噬细胞在应答白色念珠菌感染时产生了较少的TNF- $\alpha$ ; Yamamoto等<sup>[24]</sup>利用反义寡核苷酸抑制小鼠巨噬细胞中MR的表达,能够有效地抑制IL-1 $\beta$ 、IL-6和GM-CSF等mRNA的合成。有学者提出,MR本身并不是一个信号分子,所以MR必须与其他受体共同合作来引起信号级联反应<sup>[11, 13]</sup>。近几年的研究表明,在铜绿假单胞菌感染过程中,MR和TLR2能协同激活人单核细胞NF- $\kappa$ B信号通路<sup>[11]</sup>。本研究中,甘露聚糖竞争抑制实验的结果预示着黄颡鱼pfMR可能参与了巨噬细胞内吞爱德华氏菌的过程,并且这个过程依赖于Ca<sup>2+</sup>。该结果与团头鲂巨噬细胞MR识别内吞嗜水气单胞菌的结果一致<sup>[25]</sup>。MR是否同其他受体一起协同激活免疫信号通路,还需进一步研究。

铜爱德华菌感染黄颡鱼巨噬细胞30 min后,诱导产生了大量的活性氧,细胞内细菌含量呈减少的趋势,这与已报道的结果类似<sup>[26-28]</sup>。有研究指出,铜爱德华菌自身编码的过氧化物酶、过氧化氢酶及超氧化物歧化酶,使其具有一定的抵抗宿主活性氧的能力。本研究发现,在感染1.5 h时,灭活菌组较活菌组和对照组产生较多的活性氧,而在其他时间点,灭活菌组和活菌组诱导产生的活性氧量并没有明显差异。这个差异可能是铜爱德华菌抑制宿主细胞产生活性氧所致,也可能是宿主细胞在清除活细菌过程中,消耗了更多的活性氧,具体机制有待进一步研究。铜爱德华菌感染12 h后,巨噬细胞才产生高水平的NO,并且活的铜爱德华菌组NO含量明显高于对照和热灭活菌组。宿主在感染的晚期才

表达较高的NO, 可能是宿主细胞在调控活性氧和NO上存在协调机制<sup>[28]</sup>, 有待进一步探索。

#### 参考文献:

- [1] East L, Isacke C M. The mannose receptor family[J]. *Biochimica et Biophysica Acta (BBA)-General Subjects*, 2002, 1572(2-3): 364-386.
- [2] Stahl P D, Ezekowitz R A B. The mannose receptor is a pattern recognition receptor involved in host defense[J]. *Current Opinion in Immunology*, 1998, 10(1): 50-55.
- [3] Taylor P R, Gordon S, Martinez-Pomares L. The mannose receptor: linking homeostasis and immunity through sugar recognition[J]. *Trends in Immunology*, 2005, 26(2): 104-110.
- [4] Kerrigan A M, Brown G D. C-type lectins and phagocytosis[J]. *Immunobiology*, 2009, 214(7): 562-575.
- [5] Gazi U, Martinez-Pomares L. Influence of the mannose receptor in host immune responses[J]. *Immunobiology*, 2009, 214(7): 554-561.
- [6] Martinez-Pomares L, Linehan S A, Taylor P R, et al. Binding properties of the mannose receptor[J]. *Immunobiology*, 2001, 204(5): 527-535.
- [7] Allavena P, Chieppa M, Monti P, et al. From pattern recognition receptor to regulator of homeostasis: the double-faced macrophage mannose receptor[J]. *Critical Reviews in Immunology*, 2004, 24(3): 179-192.
- [8] Stahl P, Schlesinger P H, Sigardson E, et al. Receptor-mediated pinocytosis of mannose glycoconjugates by macrophages: characterization and evidence for receptor recycling[J]. *Cell*, 1980, 19(1): 207-215.
- [9] Paveley R A, Aynsley S A, Turner J D, et al. The mannose receptor (CD206) is an important pattern recognition receptor (PRR) in the detection of the infective stage of the helminth *Schistosoma mansoni* and modulates IFN $\gamma$  production[J]. *International Journal for Parasitology*, 2011, 41(13-14): 1335-1345.
- [10] Dan J M, Kelly R M, Lee C K, et al. Role of the mannose receptor in a murine model of *Cryptococcus neoformans* infection[J]. *Infection and Immunity*, 2008, 76(6): 2362-2367.
- [11] Xaplanteri P, Lagoumantzis G, Dimitracopoulos G, et al. Synergistic regulation of *Pseudomonas aeruginosa*-induced cytokine production in human monocytes by mannose receptor and TLR2[J]. *European Journal of Immunology*, 2009, 39(3): 730-740.
- [12] Nakaira-Takahagi E, Golim M A, Bannwart C F, et al. Interactions between TLR2, TLR4, and mannose receptors with gp43 from *Paracoccidioides brasiliensis* induce cytokine production by human monocytes[J]. *Medical Mycology*, 2011, 49(7): 694-703.
- [13] Balderramas H A, Penitenti M, Rodrigues K R, et al. Human neutrophils produce IL-12, IL-10, PGE2 and LTB4 in response to *Paracoccidioides brasiliensis*. Involvement of TLR2, mannose receptor and dectin-1[J]. *Cytokine*, 2014, 67(1): 36-43.
- [14] 李平. 甘露糖受体MR参与隐球菌免疫逃逸及S100A10促进隐球菌穿过血脑屏障的机制研究[D]. 上海: 第二军医大学, 2013.
- Li P. The role of MR in immune evasion of cryptococcal infection and s100a10 in promoting *Cryptococcus neoformans* traversal across blood-brain barrier[D]. Shanghai: The Second Military Medical University, 2013 (in Chinese).
- [15] Rajaram M V S, Brooks M N, Morris J D, et al. *Mycobacterium tuberculosis* activates human macrophage peroxisome proliferator—activated receptor  $\gamma$  linking mannose receptor recognition to regulation of immune responses[J]. *The Journal of Immunology*, 2010, 185(2): 929-942.
- [16] Macedo-Ramos H, Campos F S O, Carvalho L A, et al. Olfactory ensheathing cells as putative host cells for *Streptococcus pneumoniae*: evidence of bacterial invasion via mannose receptor-mediated endocytosis[J]. *Neuroscience Research*, 2011, 69(4): 308-313.
- [17] Cardona-Maya W, López-Herrera A, Velilla-Hernández P, et al. The role of mannose receptor on HIV-1 Entry into human spermatozoa[J]. *American Journal of Reproductive Immunology*, 2006, 55(4): 241-245.
- [18] Miller J L, de Wet B J M, Martinez-Pomares L, et al. The mannose receptor mediates dengue virus infection of macrophages[J]. *PLoS Pathogens*, 2008, 4(2): e17.
- [19] Chakraborty P, Ghosh D, Basu M K. Modulation of macrophage mannose receptor affects the uptake of virulent and avirulent *Leishmania donovani* promastigotes[J]. *The Journal of Parasitology*, 2001, 87(5): 1023-1027.
- [20] 刘小玲, 曾令兵. 甘露糖受体结构、功能、表达和应用研究的新进展[J]. 水产学杂志, 2013, 26(1): 54-59.
- Liu X L, Zeng L B. A review of the research ad-

- vancement of structure, function, expression and application of mannose receptor[J]. Chinese Journal of Fisheries, 2013, 26(1): 54-59(in Chinese).
- [21] Wang L, Liu L C, Zhou Y, et al. Molecular cloning and expression analysis of mannose receptor C type 1 in grass carp (*Ctenopharyngodon idella*)[J]. Developmental & Comparative Immunology, 2014, 43(1): 54-58.
- [22] Liu X L, Tang X C, Wang L, et al. Molecular cloning and expression analysis of mannose receptor in blunt snout bream (*Megalobrama amblycephala*)[J]. Molecular Biology Reports, 2014, 41(7): 4601-4611.
- [23] Heinsbroek S E M, Taylor P R, Martinez F O, et al. Stage-specific sampling by pattern recognition receptors during *Candida albicans* phagocytosis[J]. PLoS Pathogens, 2008, 4(11): e1000218.
- [24] Yamamoto Y, Klein T W, Friedman H. Involvement of mannose receptor in cytokine interleukin-1beta (IL-1beta), IL-6, and granulocyte-macrophage colony-stimulating factor responses, but not in chemokine macrophage inflammatory protein 1beta (MIP-1beta), MIP-2, and KC responses, caused by attachment of *Candida albicans* to macrophages[J]. Infection and Immunity, 1997, 65(3): 1077-1082.
- [25] Zhao X, Liu L, Hegazy A M, et al (2015) Mannose receptor mediated phagocytosis of bacteria in macrophages of blunt snout bream (*Megalobrama amblycephala*) in a  $\text{Ca}^{2+}$ -dependent manner. Fish Shellfish Immunol 43(2): 357-363.
- [26] Wang B, Yu T, Dong X, et al. *Edwardsiella tarda* invasion of fish cell lines and the activation of divergent cell death pathways[J]. Veterinary Microbiology, 2013, 163(3-4): 282-289.
- [27] 刘小玲, 葛海燕, 田珍, 等. 皮质醇对黄颡鱼头肾巨噬细胞呼吸爆发活动的影响[J]. 华中农业大学学报, 2008, 27(6): 749-754.
- Liu X L, Ge H Y, Tian Z E, et al. Effects of cortisol on respiratory burst of head kidney macrophages in *Pelteobagrus fulvidraco*[J]. Journal of Huazhong Agricultural University, 2008, 27(6): 749-754(in Chinese).
- [28] Liu L C, Zhou Y, Zhao X H, et al. Oligochitosan stimulated phagocytic activity of macrophages from blunt snout bream (*Megalobrama amblycephala*) associated with respiratory burst coupled with nitric oxide production[J]. Developmental & Comparative Immunology, 2014, 47(1): 17-24.

## Cloning and functional analysis of mannose receptor from Chinese yellow catfish (*Pelteobagrus fulvidraco*)

LIU Xiaoling<sup>1,2</sup>, WANG Hong<sup>1,2</sup>, FAN Qixue<sup>2</sup>, LAN Jiangfeng<sup>1,2,3,\*</sup>, LIN Li<sup>1,2,3,4\*</sup>

(1. Department of Aquatic Animal Medicine, College of Fisheries, Huazhong Agricultural University, Wuhan 430070, China;

2. College of Fisheries, Huazhong Agricultural University, Freshwater Aquaculture Collaborative Innovation Center of Hubei Province, Wuhan 430070, China;

3. College of Fisheries, Huazhong Agricultural University, Hubei Provincial Engineering Laboratory for Pond Aquaculture, Wuhan 430070, China;

4. Key Lab of Freshwater Animal Breeding, College of Fisheries, Huazhong Agricultural University, Ministry of Agriculture, Wuhan 430070, China)

**Abstract:** Mannose receptor (MR) is a member of C-lectin family. It is mainly expressed on the surface of macrophage and immature dendritic cells. It has been shown that MR not only plays a significant role in innate immune responses, but also initiates acquired immune responses through processing and presenting antigens to activate T cells. In this study, we cloned and characterized *pfMR* of Chinese yellow catfish (*Pelteobagrus fulvidraco*). The expression profiles of *pfMR* mRNA in different tissues of *P. fulvidraco* were assessed by real-time quantitative reverse transcription PCR (qRT-PCR). To investigate the role of *pfMR* participating in the antibacterial infection, yellow catfish head kidney macrophages were infected with *Edwardsiella ictaluri* and competition binding test of mannan to MR was carried out. The phylogenetic tree analysis showed that MR of *P. fulvidraco*, *Megalobrama amblycephala*, *Ctenopharyngodon idella*, *Danio rerio*, and *Oreochromis niloticus* formed a clade. The mRNA of *pfMR* was expressed in all detected tissues with higher level in the kidney, spleen and muscle, and lowest expression in the blood. The expressions of *pfMR*, *IL-1 $\beta$*  and *TNF-a* mRNAs were all increased in cultured primary head-kidney macrophages after *E. ictaluri* infection. The infection of *E. ictaluri* also resulted in the over-expression of large number of superoxide anion ( $O_2^- \cdot$ ) and nitric oxide (NO) in the macrophages. The infection of *E. ictaluri* could significantly activate the production of  $O_2^- \cdot$  at 30 min post treatment, while the amount of NO in the macrophage was significantly elevated at 12 h post treatment. Mannan significantly inhibited the engulfed GFP-*E. ictaluri* by macrophages through competition binding to MR. The engulfed GFP-*E. ictaluri* was significantly reduced by addition of EDTA, and restored by addition of  $Ca^{2+}$ . The present study indicated that MR in head kidney macrophages of yellow catfish mediated phagocytosis of *E. ictaluri* and it was  $Ca^{2+}$ -dependent.

**Key words:** *Pelteobagrus fulvidraco*; mannose receptor; *Edwardsiella ictaluri*; superoxide anion  $O_2^- \cdot$ ; nitric oxide

**Corresponding author:** LAN Jiangfeng. E-mail: lanjiangfeng@mail.hzau.edu.cn;

LIN Li. E-mail: linli@mail.hzau.edu.cn

**Funding projects:** National Natural Science Foundation of China (31372563, 31572657, 31502199); The Fundamental Research Funds for the Central Universities (2014PY035, 2662015QC019); Special Fund for Science and Technology from Hubei Province (2015BBA228, YSF2015000255); Fund from Key Laboratory of Fishery Drug Development, Ministry of Agriculture (201401); Special Funds from the Administration of Ocean and Fisheries of Guangdong Province (A201512C003, 2015-115); Fund from Wuhan Science and Technology Bureau (2016020101010089)